

УДК: 616.447-089.87:616-021.3:616-079.2:616-71

DOI: <https://doi.org/10.25040/aml2019.02.058>

ДОСВІД ЗАСТОСУВАННЯ СЦИНТИГРАФІЇ З ^{99m}Tc -MIBI ДЛЯ ПЕРЕДОПЕРАЦІЙНОЇ ВІЗУАЛІЗАЦІЇ ПРИЩИТОПОДІБНИХ ЗАЛОЗ У ПАЦІЄНТІВ З ГІПЕРПАРАТИРЕОЗАМИ

**Новерко І.В.¹, Кундін В.Ю.¹, Сатир М.В.¹, Коваленко А.Є.², Болгов М.Ю.²,
Гуда Б.Б.², Зінич П.П.²**

¹ Державна установа "Інститут серця Міністерства охорони здоров'я України"

² Державна установа "Інститут ендокринології та обміну речовин ім. В.П. Комісаренка Національної академії медичних наук України"

Реферат

Мета. Вивчення можливостей сцинтиграфії з ^{99m}Tc -MIBI для передопераційної візуалізації патологічно змінених прищитоподібних залоз та переваги технології ОФЕКТ/КТ при їх ектопії.

Матеріал і методи. Обстежено 682 пацієнта з патологією прищитоподібних залоз, з них жінки - 619 (90,8%), чоловіки - 63 (9,2%). Із первинним гіперпаратиреозом було обстежено 549 (80,5%) пацієнтів, з вторинним/третинним гіперпаратиреозом - 133 (19,5%) хворих.

Результати й обговорення. У 490 пацієнтів (71,9%) були отримані діагностичні зображення високої якості, з них у 50 (7,3%) хворих визначалось мультигlandулярне ураження. У 52 (7,6%) хворих були виявлені adenomi прищитоподібних залоз, які межували безпосередньо з тиреоїдною тканиною по задній поверхні щитоподібної залози або були розташовані інтратиреоїдно. У 26 (3,8%) пацієнтів візуалізувались adenomi прищитоподібних залоз, локалізовані у верхньому, передньому та середньому середостінні. Негативні результати спостерігались у 114 пацієнтів (16,7%).

Висновок. Сцинтиграфія з ^{99m}Tc -MIBI має особливу значимість в діагностиці пухлинної патології парашитоподібних залоз, а застосування технології ОФЕКТ/КТ з ^{99m}Tc -MIBI дає змогу більш точно встановити локалізацію атипово розташованих adenom прищитоподібних залоз.

Ключові слова: гіперпаратиреоз, прищитоподібні залози, сцинтиграфія, ОФЕКТ/КТ, ^{99m}Tc -MIBI.

Abstract

EXPERIENCE OF APPLICATION THE ^{99m}Tc -MIBI SCINTIGRAPHY FOR PREOPERATIVE VISUALIZATION OF PARATHYROID GLANDS IN PATIENTS WITH GYPERPARATHYROSIS

NOVERKO I.V.¹, KUNDIN V.Yu.¹, SATYR M.V.¹, KOVALENKO A.Ye.², BOLGOV M.Yu.², GUDA B.B.², ZUNYCH P.P.²

¹ State institution "Heart Institute Ministry of Health of Ukraine"

² State institution "V.P. Komisarenko Institute of Endocrinology and Metabolism of the National Academy of Medical Sciences of Ukraine"

Aim. The aim of our study was to explore the possibilities of scintigraphy with ^{99m}Tc -MIBI for diagnosis of parathyroid glands disorders and advantages of SPECT/CT technology with ^{99m}Tc -MIBI for ectopic glands.

Material and Methods. The study involved 682 patients with parathyroid glands disorders. 619 (90.8%) of them were women, and 63 (9.2%) - men. 549 (80.5%) patients with primary hyperparathyroidism, and - 133 (19.5%) patients with secondary/tertiary hyperparathyroidism were examined.

Results and Discussion. In 490 patients, (71.9%) high-quality diagnostic images were obtained. In 50 of them (7.3% patients) the multiglandular disease was visualized. In 52 (7.6%) patients were detected the intrathyroid adenomas of the parathyroid glands or parathyroid adenomas, which bordered directly with the thyroid tissue along the posterior surface of the thyroid gland. In 26 (3.8%) patients, parathyroid adenomas were located in the upper, anterior and/or middle mediastinum. Negative results of scintigraphy were found in 114 (16.7%) patients. Conclusions. The results of the study demonstrate high diagnostic value of scintigraphy with ^{99m}Tc -MIBI in diagnosis of the parathyroid glands disorders; SPECT/CT with ^{99m}Tc -MIBI allows determining the location of ectopic parathyroid glands more precisely.

Key words: hyperparathyrosis, parathyroid glands, scintigraphy, SPECT/CT, ^{99m}Tc -MIBI

Вступ

Гіперпаратиреоз (ГПТ) - ендокринне захворювання, обумовлене підвищеннем продукції паратиреоїдного гормону (ПТГ). Патогенетично розрізняють первинний ГПТ (ПГПТ), що виникає внаслідок розвитку солітарної adenomi (80-85% випадків), гіперплазії однієї чи кількох прищитоподібних залоз (ПШЗ) або множинних adenom (10-15%), рідше - внаслідок карциноми ПШЗ (<1%). Вторинний ГПТ (ВГПТ) є результатом вторинної гіперфункції

та гіперплазії ПЩЗ внаслідок їх гіперстимуляції при тривалій гіпокальціємії (дефіцит вітаміну D, хронічна ниркова недостатність). Третинний ГПТ (ТГПТ) характеризується формуванням автономної аденоми ПЩЗ на тлі тривалого ВГПТ [2, 7, 13].

Результати лікування ГПТ залежать від ефективності діагностики захворювання. По-перше, точна доопераційна візуалізація патологічно змінених ПЩЗ дозволяє скоротити час оперативного втручання і розміри операційного поля через відсутність необхідності широкої ревізії ділянок можливої локалізації ПЩЗ. По-друге, досить часто зустрічаються додаткові та/або ектоповані ПЩЗ, складність знаходження яких під час оперативного втручання не дає можливості гарантувати радикальність операції у випадку мультигlandулярного ураження та може привести до персистенції або рецидиву ГПТ після операції. Ці аргументи особливо значимі в зв'язку з появою методик малоінвазивної, в тому числі ендоскопічної хірургії органів ший [2, 5, 7, 11, 13].

Сьогодні з метою візуалізації ПЩЗ використовують ультрасонографію (УЗД), сцинтиграфію, комп'ютерну томографію (КТ) та магнітно-резонансну томографію (МРТ) [1, 10, 11]. Найпоширенішим методом топічної діагностики патологічно змінених ПЩЖ залишається УЗД, однак його недоліками є складність диференціювання патологічно змінених ПЩЗ та вузлів ЩЗ, лімфатичних вузлів, обмеженість ділянок візуалізації (позаду стравоходу, за грудиною) [1, 2, 4, 11]. М.І. Де Фео та співавтори порівняли результативність КТ, МРТ, УЗД та сцинтиграфії з 99m Tc-MIBI в діагностиці патології ПЩЗ. КТ з внутрішньовенним контрастуванням має чутливість від 46% до 87%, в той час як чутливість МР-зображень для виявлення аденом ПЩЗ коливається від 65% до 80%. За даними авторів, сцинтиграфія з 99m Tc-MIBI є найбільш специфічним методом візуалізації ПЩЗ, особливо у поєднанні з УЗД (чутливість складає 96%), тому її застосування стало значним досягненням в покращенні топічної діагностики пато-

логічно змінених ПЩЗ [3, 4, 6, 12-15].

Метокси-ізобутил-ізонітрил (MIBI) - жиророзчинний комплекс, який з'єднується з мембраною мітохондрій та акумулюється в клітинах з великою їх кількістю (в тому числі в солітарних аденомах та гіперплазованих ПЩЗ, які містять багаті мітохондріями оксифільні клітини) [5-9, 12-15]. Встановлено, що чутливість до 99m Tc-MIBI при солітарних аденомах ПЩЗ більш значна (до 90%), ніж при гіперплазії ПЩЗ (67%). За даними літератури, гіперплазовані ПЩЗ візуалізуються в 10%-62,5% випадків. Особливо ефективною виявилася сцинтиграфія з 99m Tc-MIBI при діагностиці ектопічно розташованих ПЩЗ, які спостерігаються до 20% випадків, причому ефективність сцинтиграфії не залежить від локалізації патологічного процесу [4, 5, 7, 11]. В останні роки разом з планарною сцинтиграфією ПЩЗ в складних діагностичних випадках застосовують гібридну технологію ОФЕКТ/КТ. Перевага її полягає в тому, що вона дозволяє отримати не просто площинні зображення, а серію топографічних зрізів частини тіла, що значно підвищує точність та наочність діагностики. Показаннями є персистуючий гіперпаратиреоз і підозра на ектопію ПЩЗ в середостіння або ділянку шиї, яку неможливо детально візуалізувати за допомогою УЗД та планарної сцинтиграфії. Чутливість ОФЕКТ/КТ з 99m Tc-MIBI перевищує 90% [6, 8, 9, 12-15].

Матеріал і методи

Сцинтиграфію ПЩЗ з 99m Tc-MIBI було проведено 682 пацієнтам з ГПТ, з них жінки - 619 (90,8%), чоловіки - 63 (9,2%); середній вік складав $52,0 \pm 28,0$ років (24 - 80 років). З ПГПТ було обстежено 549 (80,5%) пацієнтів, з ВГПТ та ТГПТ - 133 (19,5%). Додатково 26 (3,8%) хворим було виконано ОФЕКТ/КТ. Дослідження проводили на гамма-камері Infinia Hawkeye (GE). 99m Tc-MIBI, приготований згідно інструкції виробника ("Polatom", Польща), вводили активністю 370-555 МБк болюсно в ліктьову вену. Через 10 хв після ін'екції (рання фаза дослідження), 120 та 180 хв після ін'екції

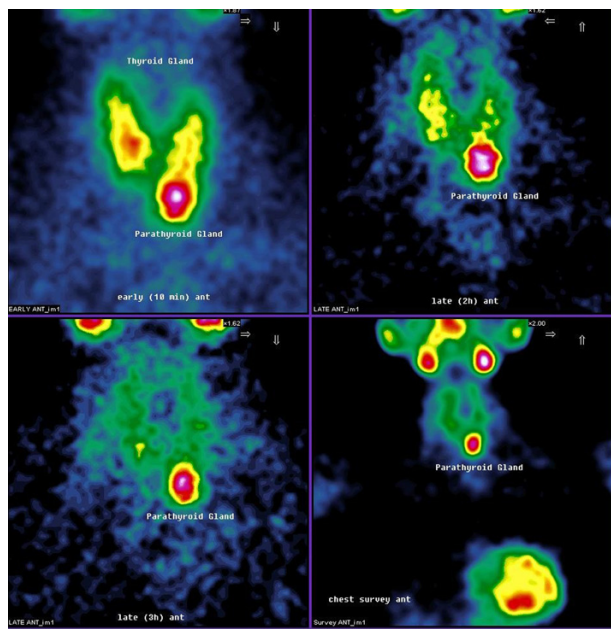


Рис. 1

Сцинтиграми пацієнтки К., 48 років, з аденою лівої нижньої ПЩЗ. На сцинтиграмах візуалізується ділянка інтенсивно підвищеної фіксації ^{99m}Tc -MIBI в проекції лівої нижньої ПЩЗ

(пізня фаза дослідження) пацієнтам виконувалась планарна сцинтиграфія ПЩЗ в передній проекції. Також через 180 хв після ін'екції (відразу після пізньої фази дослідження) усім пацієнтам виконували оглядову сцинтиграфію грудної клітки, відразу після якої окремим пацієнтам була виконана ОФЕКТ/КТ.

При аналізі отриманих сцинтиграм вивчався характер фіксації РФП в тканинах пацієнтів, оцінювався коефіцієнт відносного накопичення ^{99m}Tc -MIBI в ураженій ділянці порівняно з оточуючими тканинами (фоном), в якості якого використовували симетричні ділянки. За даними ОФЕКТ/КТ з допомогою програмних засобів системи Xeleris проводилася реконструкція аксіальних, фронтальних та сагітальних зрізів розподілу накопичення ^{99m}Tc -MIBI в тканинах пацієнтів. Розподіл РФП оцінювали на всіх зрізах ОФЕКТ/КТ, продивляючись їх послідовно покроково (товщина кроku складала 0,4-0,6 см).

Результати й обговорення

На основі проведених досліджень у 490 (71,9%) пацієнтів були отримані діагностичні зображення високої якості з інтенсивною фікса-

цією РФП в патологічно змінених ПЩЗ у всіх фазах дослідження, що дозволило зробити висновок про вогнищеве ураження ПЩЗ у цих пацієнтів. При цьому в 440 (64,5%) випадках були діагностовані одиночні аденої ПЩЗ, у 41 (6,0%) випадках - подвійні, а в 9 (1,3%) випадках - потрійні аденої/гіперплазії ПЩЗ.

Представлено результати сцинтиграфії пацієнтки з аденою лівої нижньої ПЩЗ (рис. 1). При дослідженні в ранній, обох пізніх фазах та на оглядовій сцинтиграмі грудної клітки візуалізувалась ділянка інтенсивно підвищеної фіксації ^{99m}Tc -MIBI в проекції лівої нижньої ПЩЗ. Представлено сцинтиграма пацієнтки з двома аденої ПЩЗ (рис. 2). При дослідженні в ранній, обох пізніх фазах та на оглядовій сцинтиграмі грудної клітки візуалізувались дві ділянки інтенсивно підвищеної фіксації ^{99m}Tc -MIBI в проекції правої та лівої нижніх (типово розташованих) ПЩЗ. Представлено результати сцинтиграфії пацієнта з мультигландулярним ураженням ПЩЗ (рис. 3). При дослідженні в ранній фазі визначається ділянка підвищеної фіксації препарату на 3 см нижче нижнього полюсу пра-

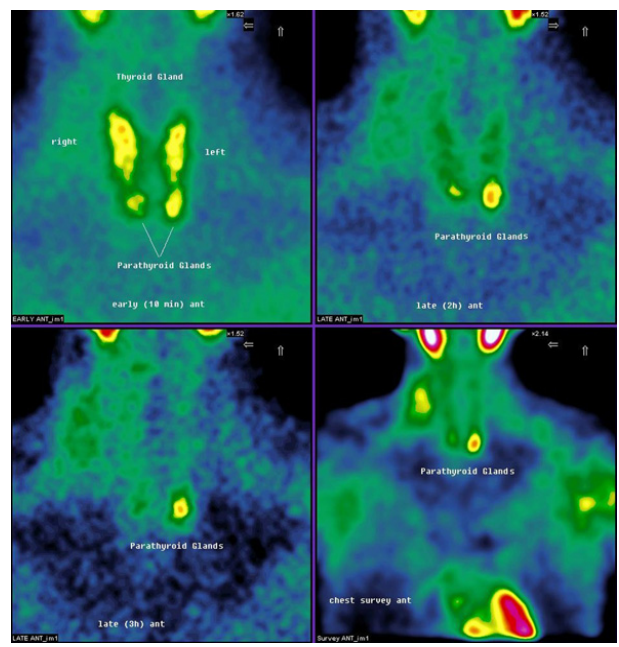


Рис. 2

Сцинтиграми пацієнтки В., 56 років, з мультигландулярним ураженням. На сцинтиграмах візуалізуються дві ділянки інтенсивно підвищеної фіксації ^{99m}Tc -MIBI в проекції правої та лівої нижніх (типово розташованих) аденої ПЩЗ

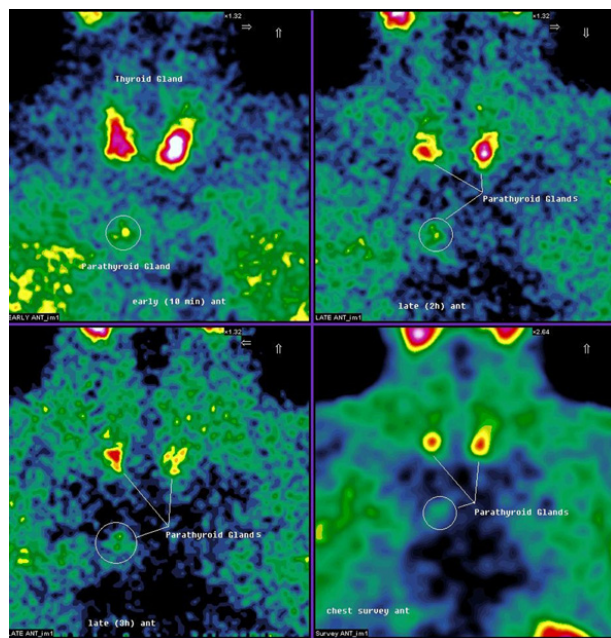


Рис. 3

Сцинтиграми пацієнтки Б., 47 років, з мультигландулярним ураженням. На сцинтиграмах візуалізуються три ділянки інтенсивно підвищеної фіксації препарату: в проекції правої та лівої нижніх (типово розташованих) аденою ПЩЗ, а також на 3 см нижче нижнього полюсу правої частки ІІЗ

вої частки ІІЗ, на обох пізніх фазах та на оглядовій сцинтиграмі грудної клітки додатково візуалізувались ще дві ділянки інтенсивно підвищеної фіксації 99m Tc-MIBI в проекції правої та лівої нижніх (типово розташованих) ПЩЗ. Представлено результати ОФЕКТ/КТ цієї ж пацієнтки (рис. 3а), на яких уточнено локалізацію вогнищевого ураження правої ПЩЗ, розташованої по задній поверхні руків'я грудини.

У 26 (3,8%) пацієнтів визначалися ділянки гіперфіксації РФП у верхньому, передньому та середньому середостінні. Для уточнення локалізації виявлених вогнищевих утворень, а також для підтвердження даних, отриманих при планарній сцинтиграфії, цим пацієнтам додатково було виконано ОФЕКТ/КТ грудної порожнини, в результаті було підтверджено наявність та встановлено точну локалізацію раніше виявлених атипово розташованих патологічно змінених ПЩЗ. Представлено результати сцинтиграфії пацієнта з аденою ПЩЗ (рис. 4), розташованою

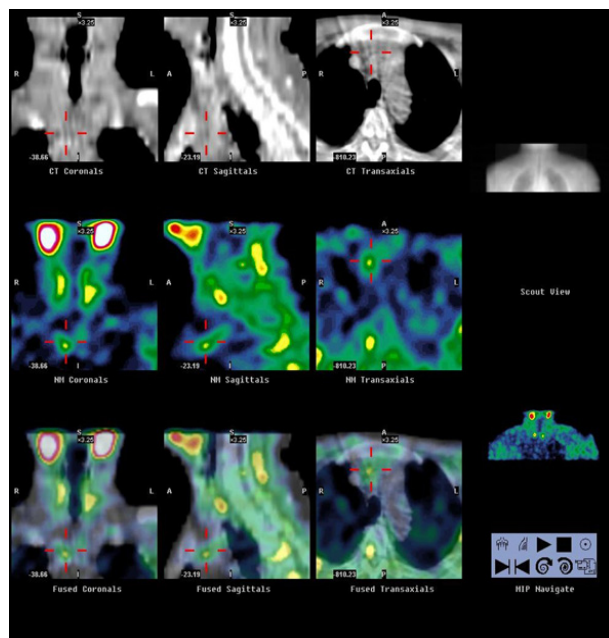


Рис. 3а

Результати ОФЕКТ/КТ пацієнки Б., 47 років, на яких уточнено локалізацію правої ПЩЗ, розташованої по задній поверхні руків'я грудини на 2,0 см нижче яремної вирізки та на 1,0-1,5 см правіше від передньої серединної лінії

у верхньому середостінні. При дослідженні в ранній, обох пізніх фазах та на оглядовій сцинтиграмі грудної клітки візуалізувалась ді-

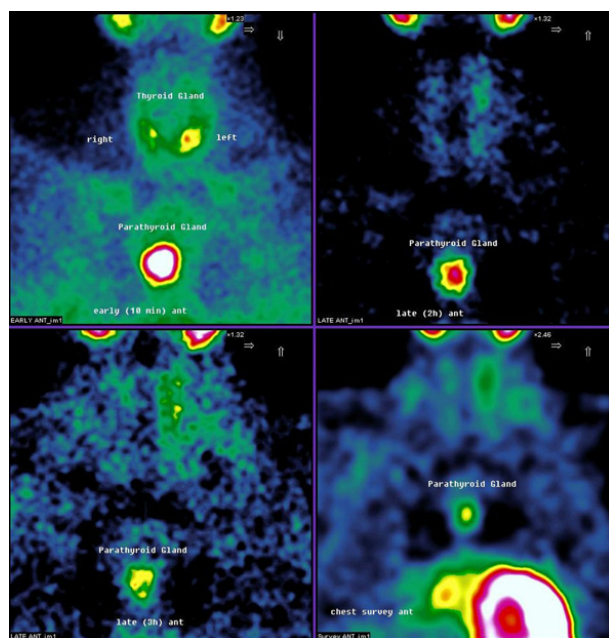


Рис. 4

Сцинтиграми пацієнта Г., 45 років, з аденою ПЩЗ, розташованою у верхньому середостінні. На сцинтиграмах візуалізується ділянка інтенсивно підвищеної фіксації 99m Tc-MIBI на 5 см нижче нижніх полюсів обох часток ІІЗ

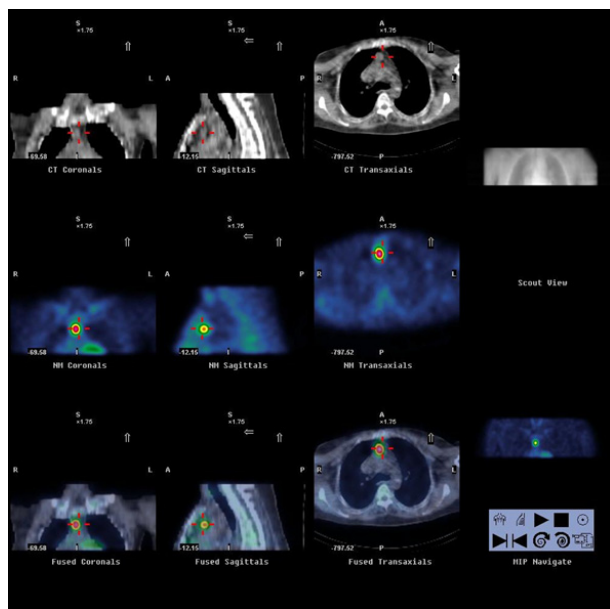


Рис. 4а

Результати ОФЕКТ/КТ пацієнта Г., 45 років, на яких уточнено локалізацію вогнищевого ураження ПШЗ, розташованої по задній поверхні руків'я грудини на 2,5 см нижче яремної вирізки та на 1,5-2,0 см правіше від передньої серединної лінії ділянка інтенсивно підвищеної фіксації ^{99m}Tc -MIBI на 5 см нижче нижніх полюсів обох часток ЩЗ. Представлено результати ОФЕКТ/КТ цього ж пацієнта (рис. 4а), на яких уточнено

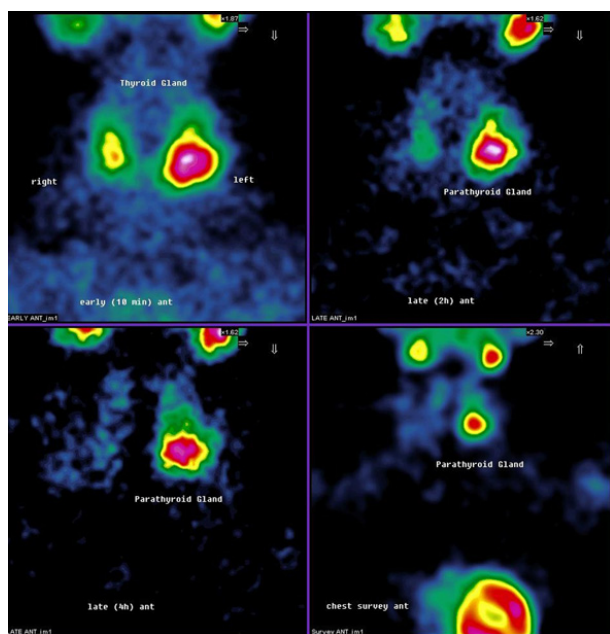


Рис. 5

Сцинтиграми пацієнтки К., 57 років, з інтратиреоїдним розташуванням ПШЗ. На сцинтиграмах візуалізується ділянка інтенсивно підвищеної фіксації ^{99m}Tc -MIBI в проекції лівої нижньої ПШЗ, розташованої інтратиреоїдно

локалізацію вогнищевого ураження ПШЗ, розташованої по задній поверхні руків'я грудини.

У 52 (7,6%) пацієнтів ділянки патологічно підвищеної фіксації препарату в проекції ПШЗ були виявлені лише на пізніх фазах дослідження та на оглядовій сцинтиграмі грудної клітки, що могло бути обумовлено межуванням аденою ПШЗ безпосередньо з тиреїдною тканиною по задній поверхні ЩЗ або інтратиреоїдно. Таким чином, візуалізація ураженої ПШЗ була можлива лише після елімінації ^{99m}Tc -MIBI з тканини ЩЗ. Представлено сцинтиграму пацієнтки з інтратиреоїдною локалізацією ПШЗ (рис. 5). При дослідженні в ранній фазі визначається ділянка гіперфіксації РФП в проекції нижнього полюсу лівої частки ЩЗ. На обох пізніх фазах та на оглядовій сцинтиграмі грудної клітки візуалізувалась вищевказані ділянка інтенсивно підвищеної фіксації ^{99m}Tc -MIBI в проекції лівої нижньої ПШЗ, розташованої інтратиреоїдно.

У 114 (16,7%) пацієнтів ділянок патологічно підвищеної фіксації РФП в проекції ЩЗ, ший та грудної порожнини як на ранніх, так і на пізніх фазах дослідження, виявлено не було. Розподіл ^{99m}Tc -MIBI відповідав фізіологічному (візуалізувалась фіксація препарата в привушних, підщелепних слинних заливах, ЩЗ та міокарді) (рис. 6). Отримані негативні результати можуть бути пов'язані з малими розмірами уражених ПШЗ та зі зниженням їх метаболічною активністю, а також з відносно низькою чутливістю сцинтиграфії з ^{99m}Tc -MIBI при гіперплазіях ПШЗ.

Висновки

Паратиреосцинтиграфія з ^{99m}Tc -MIBI є основним стандартним методом передопераційної візуалізації вогнищевих утворень прищітоподібних залоз в рутинних клінічних випадках. Застосування технології ОФЕКТ/КТ в складних діагностичних ситуаціях дозволяє більш точно встановити локалізацію атипово розташованих аденою прищітоподібних залоз порівняно з планарною сцинтиграфією завдяки комбінації функціональних та анато-

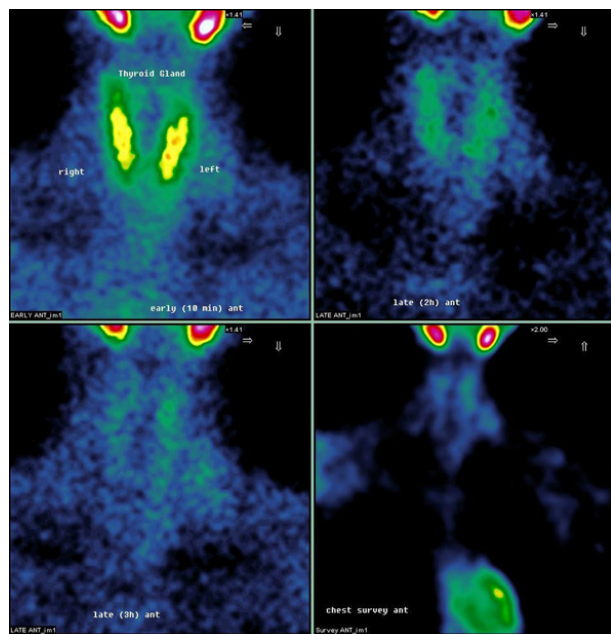


Рис. 6

Сцинтиграми пацієнтки Л., 52 років, з фізіологічним розподілом ^{99m}Tc -MIBI (візуалізується фіксація препарату в підщелепних слинних залозах, ЩЗ та міокарді), що свідчить про відсутність вогнищової патології ПЩЗ

мічних зображень, що покращує інтерпретацію результатів дослідження, а також дає можливість значно скоротити час та мінімізувати обсяг оперативного втручання у пацієнтів з гіперпаратиреозами.

Література

- Cheung K, Wang TS, Farrokhyar F, Roman SA, Sosa JA: A metaanalysis of preoperative localization techniques for patients with primary hyperparathyroidism. Ann Surg Oncol 2012, 19, 577-583.
- Chien D, Jacene H: Imaging of parathyroid glands. Otolaryngol Clin North Am 2010, 43, 399-415.
- Ciappuccini R, Morera J, Pascal P, Rame JP, Heutte N, Aide N, Babin E, Reznik Y, Bardet S: Dual-phase ^{99m}Tc -sestamibi scintigraphy with neck and thorax SPECT/CT in primary hyperparathyroidism: a single-institution experience. Clin Nucl Med 2012, 37, 223-228.
- De Feo MI, Colagrande S, Biagini S et al: Parathyroid Glands: Combination of ^{99m}Tc -MIBI Scintigraphy and US for Demonstration of Parathyroid Glands and Nodules. Radiology 2000, 241, 393-402.
- Greenspan BS, Dillehay G, Intenzo C, Lavelle WC, O'Doherty M, Palestro CJ, Scheve W, Stabin MG, Sylvester D, Tulchinsky M: SNM practice guideline for parathyroid scintigraphy. J Nucl Med Technol 2012, 40, 111-118.
- Hassler S, Ben-Sellem D, Hubalek F, Constantinesco A, Goetz C: Dual-isotope ^{99m}Tc -MIBI/ ^{123}I parathyroid scintigraphy in primary hyperparathyroidism: comparison of subtraction SPECT/CT and pinhole planar scan. Clin Nucl Med 2014, 39, 32-36.
- Hindie E, Ugur O, Fuster D, O'Doherty M, Grassetto G, Urena P, Kettle A, Gulec SA, Pons F, Rubello D: 2009 EANM parathyroid guidelines. Eur J Nucl Med Mol Imaging 2009, 36, 1201-1216.
- Im HJ, Lee IK, Paeng JC, Lee KE, Cheon GJ, Kang KW, Chung JK, Lee DS: Functional evaluation of parathyroid adenoma using ^{99m}Tc -MIBI parathyroid SPECT/CT: correlation with functional markers and disease severity. Nucl Med Commun 2014, 35, 649-654.
- Kim YI, Jung YH, Hwang KT, Lee HY: Efficacy of ^{99m}Tc -sestamibi SPECT/CT for minimally invasive parathyroidectomy: comparative study with ^{99m}Tc -sestamibi scintigraphy, SPECT, US and CT. Ann Nucl Med 2012, 26,
- Kunstman JW, Kirsch JD, Mahajan A, Udelsman R: Clinical review: Parathyroid localization and implications for clinical management. J Clin Endocrinol Metab 2013, 98, 902-912.
- Okuda I, Nakajima Y, Miura D, Maruno H, Kohno T, Hirata K: Diagnostic localization of ectopic parathyroid lesions: developmental consideration. Jpn J Radiol 2010, 28, 707-713.
- Patel CN, Salahudeen HM, Lansdown M, Scarsbrook AF: Clinical utility of ultrasound and ^{99m}Tc -sestamibi SPECT/CT for preoperative localization of parathyroid adenoma in patients with primary hyperparathyroidism. Clin Radiol 2010, 65, 278-287.
- Taubman ML, Goldfarb M, Lew JI: Role of SPECT and SPECT/CT in the Surgical Treatment of Primary Hyperparathyroidism. Int J Mol Imaging 2011, 2011: 141593.
- Wimmer G, Profanter C, Kovacs P, Sieb M, Gabriel M, Putzer D, Bale R, Margreiter R, Prommegger R: CT-MIBI-SPECT image fusion predicts multiglandular disease in hyperparathyroidism. Langenbecks Arch Surg 2010, 395, 73-80.
- Zhen L, Li H, Liu X, Ge BH, Yan J, Yang J: The application of SPECT/CT for preoperative planning in patients with secondary hyperparathyroidism. Nucl Med Commun 2013, 34, 439-444.